

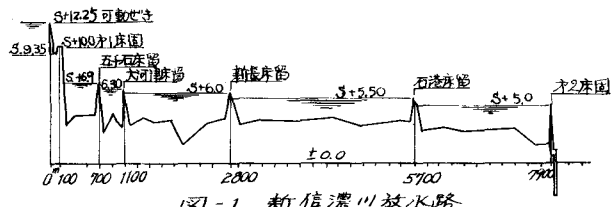
建設省 土木研究所 正員 上屋昭彦

1. まえがき

鉄水路や積水路などの人工水路では、一般に河床勾配が徒市・河直に比べて急に下りことが多い。河床低下を防ぐために床固めを用いる。また砂利採取などによる河床低下に対しても、床固工法によるこれに対する考え方と例が多い。河床低下の傾向は多くの河川にみられる。床固め工法でも下流水部分などの局所変形が甚だしく発生が多い。また上流側につけても河床が低下し、床固めとしての機能の効果に苦しみが多い。図-1は新信濃川の河床断面図であるが、左の床固めに比べて、右の上流側の河床は著しく低下している。その結果が沿堤地帯に見えて、本研究ではこの様な場合の床固めの機能について考察し、その設計法を提案した。

2. 床固めの水理機能

河直の平衡断面形状は河岸、河床材料、粗度係数、流量、流砂量等が与えられれば、1つの形状が決定される。これは平衡理論の教科書通りであるが、時間とともに流

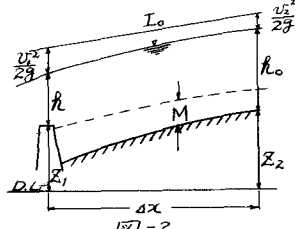


量が変化した場合床材料の分布を変化する一般の河直における、河床変動計算の方法によると時間的に変動の過程を追跡する：これが必要なことは勿論である。床固めが、上流側の断面形状を矯正する機能につけても、一般的の河直と同様河床変動計算によると効果を算定できる。しかし、この種の構造物と設計する場合には、その水理機能と機能的につかむ簡単に算定できることは便利である。この様な観点から、河床変動計算の下での床固めの効果と水理機能について考察した。

床固め工法による河床変動は、流砂の連続条件式満足工法、上流からの流砂が供給が少ない場合低下を生ずる。(砂利採取などによる人工的必要面除く) Manning と Brown の式によると、流量と供給流砂量 Q_s と河直の剪断平衡勾配 I_0 および平衡水深 h_0 は次のように表わされる。

$$I_0 = \frac{B_o^{\frac{1}{p}}}{g^{\frac{1}{p}}} \frac{[Q_s \left(\frac{B_o}{P} - 1 \right)^p g^p / B_o \cdot Q_s \cdot d_m^{1-p}]}{n_o^{\frac{1}{p}}} \frac{20}{\eta(2p+1)} \quad (1)$$

$$h_0 = \frac{Q_s^{\frac{1}{p}} n_o^{\frac{1}{p}} g^{\frac{1}{p}}}{[B_o^{2p} Q_s \left(\frac{B_o}{P} - 1 \right)^p g^p / Q_s \cdot d_m^{1-p}]} \frac{20}{\eta(2p+1)} \quad (2)$$



これに対して床固め上の水深は、床固めの天端高と下流の水理条件 (I_0)、(決定工法、その最大運び加減より最小限界水深) である。いすれ床固め上の水深と h_0 とし (和の有無)、有れば必ず複合的に上流の河床形状となる。床固めの上は固定床であるから流砂量は流量に対する非平衡の点で異なりない。従って、上流の河床は床固め天端より下り水深が増加する。床固めによる局部的な背外の影響が無視できることと上流地盤を考慮すると、その地盤の水深は H_1 。

である。床面以上流部の縮放比 β がエルギー損失は殆ど無視できる段階のエルギー可視化 I_0 とし、 $\beta < 1$ の場合、その地盤の河床高さ Z_0 次式で与えられる。ただし α は一定とする。

$$Z = Z_0 - (h_0 - h) + \frac{\alpha \theta^2}{2gB^2} \left(\frac{1}{h^2} - \frac{1}{h_0^2} \right) + I_0 \quad (3)$$

$$\text{ここで、} \beta = \frac{h}{h_0} \quad (0 < \beta \leq 1) \quad (4)$$

とすると、 β の追従により、床面以上流部の底面高さ $M (= I_0 \Delta x + Z_0 - Z_0)$ の変化の様子を調べてみる。

$$(3), (4) \rightarrow \delta \theta^2 / 8B^2 h_0^3 = Fr^2 - \frac{1}{\beta^2} \quad (5)$$

$$M = (1 - \beta) - \frac{\alpha Fr^2}{2} \left(\frac{1}{\beta^2} - 1 \right) \quad (5)$$

を得る。 $\alpha = 1.1$ として式(5)の関係式を用いて

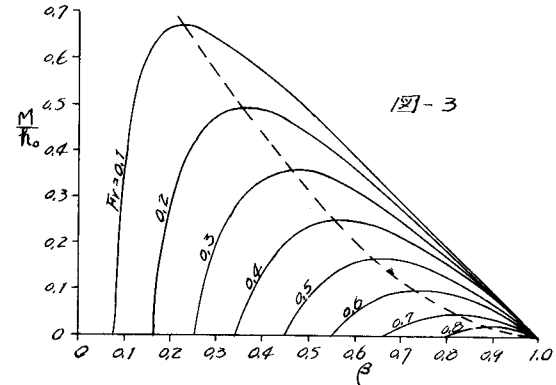


図-3 から得られる事は、 β が上り得る範囲は方程式の範囲から限界水深の差異から

$$h_c = \alpha Fr^2 h_0$$

となる。 β の値は $\delta \geq \alpha Fr^2$ の範囲でなければならぬ。図-3 は方程式より上り得る範囲 (実線) と右側に相当する。流量、流砂量、下流域条件が定まれば図-3 より M の値を求めることができる。床面以上流部の縮放比 β が既知ならば、条件別に検討が可能となる。

3. 実験

水路幅 40 cm、長さ 12 m のガラス管の床面以上部に上流部を設置し、 $d_m = 0.43 \text{ mm}, 1.95 \text{ mm}$ の 2 種類の砂を用い、自転式砂量計により実験を行った。実験条件は、(1) 市中地盤である、河床高さ約 30 cm の静止水頭、(2) 流砂量を定め、(3) 底面勾配を $1:10$ とし、(4) 実験装置の上流部に $h_0 = 1.95 \text{ mm}$ の計算式による M を、実験結果と比較する。実験結果は、(1) M と Q の関係、(2) M と Q の関係、(3) M と Q の関係、(4) M と Q の関係、(5) M と Q の関係、(6) M と Q の関係、(7) M と Q の関係、(8) M と Q の関係、(9) M と Q の関係、(10) M と Q の関係、(11) M と Q の関係、(12) M と Q の関係、(13) M と Q の関係、(14) M と Q の関係、(15) M と Q の関係、(16) M と Q の関係、(17) M と Q の関係。

4. 実験条件への適用

新潟市日本海岸沿いの砂丘地帯を対象とした、(1) 上流部の底面高さ、(2) 河床高さ、(3) 静止水頭、(4) 床面勾配、(5) 下流域条件、(6) 流砂量、(7) 底面勾配、(8) 上流部の底面高さ、(9) 下流域条件、(10) 上流部の底面高さ、(11) 下流域条件、(12) 上流部の底面高さ、(13) 下流域条件、(14) 上流部の底面高さ、(15) 下流域条件、(16) 上流部の底面高さ、(17) 下流域条件。

$\alpha = 500\%$ の条件適合性を求める。

表-2

条件	実験値			計算値	
	$\alpha = 500\%$	$\alpha = 1,000\%$	$\alpha = 2,000\%$	M	M
上流部の底面高さ	1.2 m	1.8 m	3.0 m	1.1	1.4
下流域条件	1.9	2.1	4.0	2.0	2.3
土屋・河原井地盤の底面高さ	2.6	2.0	3.3		
水理模型					

